

Опуская промежуточные выкладки, запишем эту систему уравнений

$$(15) \quad \begin{aligned} & \frac{dM}{d\varphi} \cos \alpha + [M \sin \alpha - V_1] \frac{d\alpha}{d\varphi} - M \sin \alpha = B_1 \\ & \frac{2}{\gamma+1} [V_1 - m_1 M \sin \alpha] n_1 \frac{dM}{d\varphi} - \frac{2}{\gamma+1} \frac{a}{a_1} \frac{M^2-1}{M} \cos \alpha \frac{d\alpha}{d\varphi} = C_1 \\ & B_1 = \left[ \frac{dV_1}{d\varphi} \operatorname{ctg} \varphi - V_1 \right] \sin^2 \varphi + \left[ U_1 \operatorname{tg} \varphi - \frac{dU_1}{d\varphi} \right] \cos^2 \varphi - \frac{M}{a_1} \cos \alpha \frac{da_1}{d\varphi} \\ & C_1 = \frac{1}{\gamma P_1} \left( \frac{2}{\gamma+1} \frac{M^2-1}{M} \sin \alpha - V_1 + \frac{a}{a_1} \sin \alpha \right) \frac{a}{a_1} \frac{dP_1}{d\varphi} - \\ & - \frac{a}{a_1} \left( \frac{dV_1}{d\varphi} - \frac{2}{\gamma+1} \frac{M^2-1}{Ma_1} \frac{da_1}{d\varphi} \right) - \left( V_1 - \frac{2}{\gamma+1} \frac{M^2-1}{M} \sin \alpha \right) \times \\ & \times \left( \frac{dU_1}{d\varphi} \cos \alpha - \frac{dV_1}{d\varphi} \sin \alpha + \frac{2}{\gamma+1} \frac{M^2-1}{Ma_1} \frac{da_1}{d\varphi} - V_1 \cos \alpha - U_1 \sin \alpha \right) - \\ & - \frac{a}{a_1} [iU_1 + (i-1)V_1 \operatorname{ctg} \varphi] - \frac{2}{\gamma+1} \frac{a}{a_1} \frac{M^2-1}{M} [i \cos \alpha - (i-1) \operatorname{ctg} \varphi \sin \alpha] \\ & m_1 = \frac{1}{n_1} \left[ \frac{2}{\gamma+1} \frac{M^2+1}{M^2} n_1 + 2 \frac{\rho_1}{\rho} + \frac{a}{a_1} \frac{M^2+1}{M^3} \right] \\ & n_1 = 2M \frac{P_1}{P} \frac{a}{a_1} + \frac{M^2+1}{M^2}; \quad U_1 = \frac{v_{r1}}{a_1}, \quad V_1 = \frac{v_{\varphi 1}}{a_1} \end{aligned}$$

В этих соотношениях  $\alpha$  — угол между нормалью к фронту ударной волны и радиус-вектором  $r$  в полярной системе координат  $r, \varphi$ ;  $v_{r1}=v_{r1}(\varphi)$  и  $v_{\varphi 1}=v_{\varphi 1}(\varphi)$  — соответствующие скорости газа по осям  $r$  и  $\varphi$  соответственно. Все другие обозначения те же, что и выше. Укажем также, что формула (1) в данном случае примет вид

$$(16) \quad R = \frac{r_*}{t} = \frac{a_1 M}{\cos \alpha} + v_{r1} - v_{\varphi 1} \operatorname{tg} \alpha$$

После определения  $M$  и  $\alpha$  из (15) величина радиус-вектора фронта ударной волны находится из (16).

Очевидно, что изложенное выше путем можно получить систему уравнений, описывающую движение фронта ударной волны и в трехмерном случае.

Автор благодарен М. Д. Герасимову за внимание и помощь в работе.

Поступила 4 VII 1980

#### ЛИТЕРАТУРА

1. Уизем Дж. Линейные и нелинейные волны. М., «Мир», 1977.
2. Whitham G. A note on shock dynamics relative to a moving frame. J. Fluid Mech., 1968, vol. 31, No. 3.

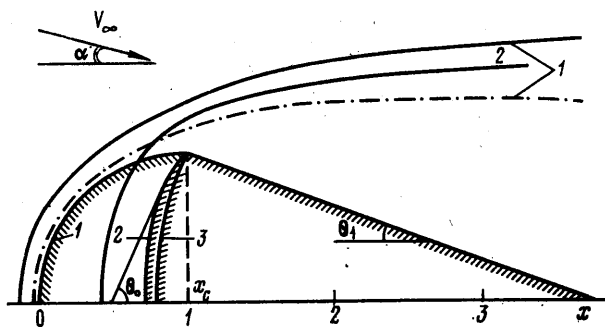
УДК 533.69.048.2.011.5:532.582.3

#### О РАСЧЕТЕ ДАВЛЕНИЯ НА БОКОВОЙ ПОВЕРХНОСТИ СЕГМЕНТАЛЬНО-КОНИЧЕСКИХ ТЕЛ ПРИ СВЕРХЗВУКОВОМ ОБТЕКАНИИ

А. В. АНТОНЕЦ, В. П. МАРИНИН

(Москва)

Результаты исследований невязкого обтекания обратных конусов с сегментальным затуплением впервые в отечественной литературе были опубликованы в [1-4]. В данной работе получено численное решение этой задачи по усовершенствованным алгоритмам [5, 6], хорошо апробированным ранее в задачах внешнего обтекания поверхностей с положительными углами наклона к набегающему потоку. Показано влияние на изучаемые распределения давления числа Маха  $2 \leq M_\infty \leq \infty$ , равновесных и неравновесных физико-химических превращений в воздухе ( $H=60$  км;  $V_\infty=7.4$  км/сек,  $R_0=1$  м) и угла атаки  $0 \leq \alpha \leq 40^\circ$ . Проведенное сравнение результа-



Фиг. 1

тров расчетов и дренажных экспериментов при  $M_\infty=6$ ,  $\alpha=0\text{--}25^\circ$  подтверждает расширенную область применимости разработанных численных методов. Предложена также простая корреляция зависимости от числа Маха  $1.5 \leq M_\infty \leq \infty$  формы ударной волны около сферы в потоке совершенного газа с показателем адиабаты  $\gamma=1.4$ .

**1. Развитие метода последовательного счета.** Известно, что значительные градиенты газодинамических функций, вызванные разрывами наклонов или кривизны в точках стыковки лобового сегмента с боковой поверхностью, определяют повышенные требования к обеспечению вычислительной устойчивости расчетных методов. Несмотря на возникающие трудности, представляется целесообразной дальнейшая универсализация программ для ЭВМ [5, 6], которые позволяют рассчитывать параметры невязких течений в сверхзвуковой области между поверхностью тела и головной ударной волной с учетом равновесных и неравновесных физико-химических процессов, протекающих в воздухе при высоких температурах. Реализованные в этих программах алгоритмы основаны на «сеточно-интегральной» модификации маршевого метода сеток [7]. Систематизированную информацию о других численных методах можно найти, например, в реферативном обзоре [8]. Улучшение надежности и устойчивости конструируемых алгоритмов, вообще говоря, гарантируется проведением аппроксимаций производных вдоль естественных направлений и прямым учетом точных интегральных свойств течений газа. Ряд методических ограничений [7], не связанных с условиями корректности физической постановки задачи, снимается усовершенствованием так называемой «обратной» прогонки. Согласно развивающей здесь схеме последовательного счета, из «обратной» прогонки берется только давление. Модифицированная формула для его расчета записывается в виде

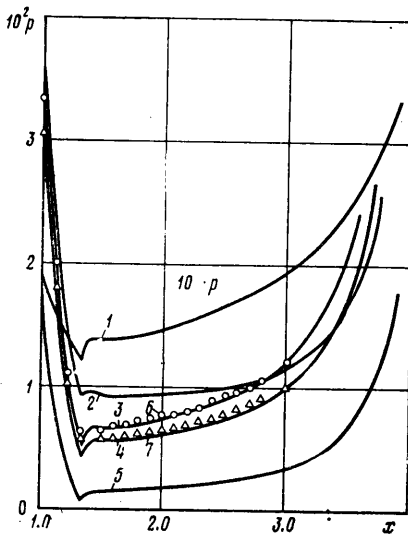
$$P_m = P_{m+1} + \tau [g_{m+1} - (\mu^{m+1}, X_{m+1})]$$

где  $P_m = Q_0 + (Q, X_{m+1})$  — обычная формула «обратной» прогонки в сторону уменьшения индекса  $m$ ;  $(\mu^{m+1}, X_{m+1}) = g_{m+1}$  — известное прогоночное соотношение, не зависящее от погрешностей в вычисленных компонентах вектора искомых функций (проекции скорости и давление) в верхнем узле  $X_{m+1} = \{u, v, w, p\}_{m+1}$ . Устойчивость вычислений (ослабление зависимости расчетной формулы от значений величин в верхнем узле) обеспечивается подбором параметра  $\tau$  из условия минимизации суммы квадратов коэффициентов перед компонентами вектора  $X_{m+1}$ .

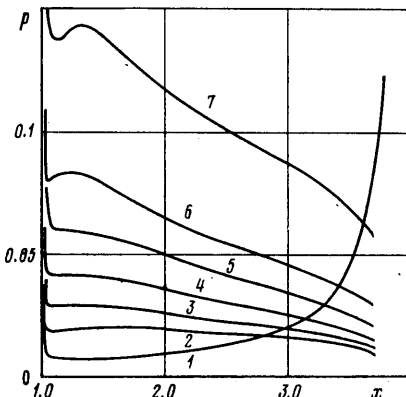
Энтальпия вычисляется через давление по степенной функции, связывающей значения параметров в двух точках на концах отрезка линии тока. Как положительный факт можно отметить совпадение этой функции с точной адиабатой в течениях совершенного газа. Для определения проекций скорости осуществляется комбинированное (с привлечением прогоночного соотношения и интеграла Бернулли) интегрирование уравнений движения вдоль отрезка линии тока, выпускаемой назад из текущего узла. Релаксационные уравнения для концентраций компонент смеси газов, если учитывается неравновесность физико-химических превращений, также интегрируются вдоль линий тока по неявной схеме. Решение получающихся нелинейных систем конечно-разностных уравнений находится методом Ньютона с локальной линеаризацией около значений концентраций из предыдущей итерации и использованием численного дифференцирования.

**2. Результаты расчетов и экспериментов.** Ради большей компактности исследования проанализируем только распределение давления на обратном конусе с углом полураствора  $\theta_1 = -20^\circ$ . Варианты затупленных носков с одинаковым радиусом миделя  $R_m$  изображены на фиг. 1. Сферические носки 1, 3 характеризуются углами  $\theta_0 = 0$  и  $65^\circ$  между осью симметрии и касательной к затуплению в точке его стыковки с образующей конуса. Вариант 2 отличается от варианта 3 проведенным скруглением угловой точки от  $\theta_0 = 65^\circ$  до  $\theta_0 = 40^\circ$ . На этой фигуре для конфигура-

ций 1 и 2 показаны также следы рассчитанных ударных волн на наветренной стороне тела при угле атаки  $\alpha=20^\circ$ . Сплошные и штрихпунктирная линии отвечают, соответственно, режимам течения совершенного газа ( $M_\infty=6$ ,  $\gamma=1.4$ ) и равновесно-диссоциирующего воздуха (полет в атмосфере на высоте  $H=60$  км со скоростью  $V_\infty=7.4$  км/сек). Известно, что в цилиндрических координатах  $(x, \varphi, r)$ , где  $x$  и  $r$  направлены вдоль и по нормали к вектору скорости  $V_\infty$ , форма ударной волны около затуплений осесимметричной формы близка к осесимметричной. Для



Фиг. 2



Фиг. 3

аппроксимаций меридиональных контуров скачка можно предложить формулу

$$r = r_k \left[ \frac{x + \varepsilon_0}{x_k + \varepsilon_0} \right]^\lambda, \quad \frac{dr}{dx} = \lambda \frac{r}{x + \varepsilon_0}, \quad -\varepsilon_0 \leq x \leq x_k$$

При обтекании сферы совершенным газом с показателем адиабаты  $\gamma=1.4$  зависимости отхода  $\varepsilon_0[R_0]$  в критической точке сферы радиуса  $R_0$ , координаты  $r_k[R_0]$  и показателя степени  $\lambda$  от числа Маха  $M_\infty$ , например, достаточно точно аппроксимируются следующими выражениями:

$$\varepsilon_0 \approx 0.129 + (0.15836 + 0.32864 \cdot t) t^2;$$

$$r_k|_{x=x_k=0.4} \approx 1.095 + (0.3731 + 1.3019 \cdot t) t^2, \quad \lambda \approx 0.46 + 0.123 t^2, \quad 0 \leq t = 1.5/M_\infty \leq 1$$

Для тестовых сравнений с данными [9] были проведены расчеты обтекания обратного конуса, гладко сопрягаемого со сферическим затуплением ( $\theta_0=\theta_1=-20^\circ$ ). Типичные распределения давления  $P[\rho_\infty V_\infty^2]$  по контуру тела от координаты  $x[R_m=R_0]$ , отсчитываемой от передней точки вдоль оси конуса, построены при нулевом угле атаки на фиг. 2. Стабильность расчетных результатов проверена при варьировании числа сеточных интервалов  $G=10, 20, 40$  между поверхностью тела и ударной волной. Кривыми 1, 3, 4 показаны распределения для совершенного газа с параметрами:  $\gamma=1.4$  и  $M_\infty=2, 10, \infty$ . Чтобы избежать нежелательного растяжения фиг. 2, на оси ординат для кривой 1 вместо давления отложена величина  $10 \cdot P$ . Результаты [9], одноименные вариантам 3 и 4, обозначены точками 6 и 7. Удовлетворительное согласование сравниваемых распределений давления ухудшается в окрестности точки сопряжения  $x_c=1.342$ . Правильность прорисовки угловых точек при  $x=x_c$  проверим вычислениями в них градиентов давления на теле по двум точным дифференциальным соотношениям. Первое выражает собой равенство производных по направлению касательной к разрывной характеристики [10] у двух сравниваемых решений около сферы  $P_0(x, r)$  и конуса  $P_1(x, r)$ :

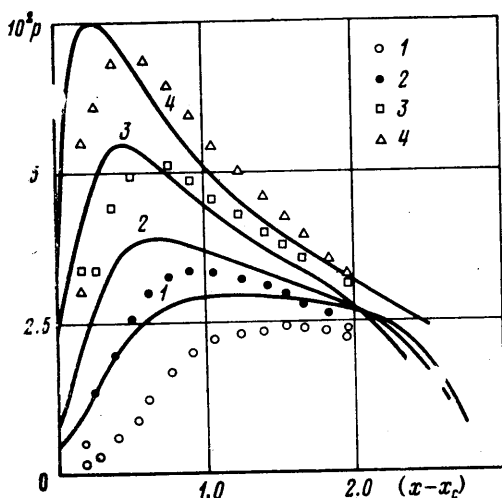
$$\frac{dP_1}{dx} = \frac{dP_0}{dx} + \frac{\rho_0 V_0^2}{\cos \theta_0 \sqrt{M_0^2 - 1}}$$

Здесь  $\rho_0[V_\infty]$ ,  $V_0[V_\infty]$ ,  $M_0$  — плотность, скорость и число Маха потока на теле в точке  $x=x_c$ .

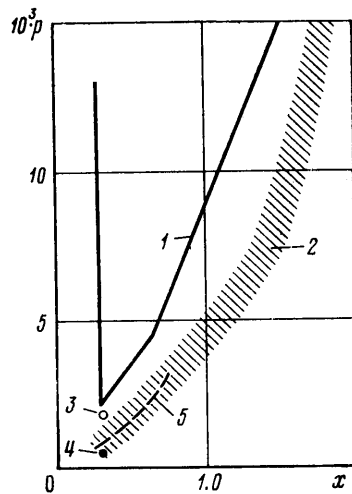
Второе вытекает из уравнений движения, записанных в координатах  $(s, n)$  – по касательной и нормали к контуру тела в точке сопряжения, и дает связь между производными  $dP/dx$  и  $\partial V_n/\partial n$  в любом гладком решении ( $V_n$  – компонента скорости вдоль оси  $n$ ; линейные размеры, как и выше, относятся к радиусу сферы  $R_0$ ):

$$\frac{dP}{dx} = - \frac{\rho_0 V_0 (V_0 \operatorname{tg} \theta_0 + \partial V_n / \partial n)}{\cos \theta_0 (M_0^2 - 1)}$$

Вычисляя  $dV_n/dn$  разностным отношением для табличного варианта 6 (фиг. 2), получим отсюда  $dP_0/dx \approx -0.0236$ , тогда из предыдущего соотношения следует  $dP_1/dx \approx 0.015$ . Рассчитанные таким способом значения градиентов давления соот-



Фиг. 4



Фиг. 5

ветствуют прорисовке угловой точки на расчетной кривой 3. Возможно, что шаг  $\Delta x$  таблиц [9] около точки сопряжения с конусом недостаточно мал для точного вычисления градиента  $dP_1/dx$  по конечно-разностным отношениям.

Влияние равновесных и неравновесных физико-химических превращений в воздухе ( $H=60 \text{ км}$ ,  $V_\infty=7.4 \text{ км/сек}$ ,  $R_0=1 \text{ м}$ ) демонстрируют кривые 2 и 5. Видно, что зависимость от режимов течения в области малых давлений ( $P \leq 0.01 [\rho_0 V_\infty^2]$ ) на обратных конусах сильнее, чем на телах с положительными местными углами атаки [6]. Так, в точке сопряжения давление для равновесного (кривая 2) режима течения примерно в два раза больше, а для неравновесного (кривая 5) – в семь раз меньше, чем в той же точке на кривой 4 для совершенного газа. Качественно эти результаты согласуются с выводами [11] о влиянии режимов течения (или замороженного показателя адиабаты) на давление в волне Прандтля – Майера. Средний градиент  $dP/dx$  на образующей обратного конуса, оставаясь малой положительной величиной  $\sim 0.001$ , уменьшается для последовательности вариантов 4, 5, 2.

Параметры течения рассчитываются маршевым методом вплоть до острия обратного конуса. Однако резкое возрастание положительных градиентов давления при  $x \geq 3$  должно приводить на самом деле к перестроению течения с появлением отрыва потока.

Для не равных нулю углов атаки градиент давления на наветренной образующей конуса становится отрицательным. Иллюстрация этого факта дается на фиг. 3 для обратного конуса с полусферическим носком ( $\theta_0=0$ ,  $\theta_1=-20^\circ$ ). Рассматривается обтекание совершенным газом с параметрами:  $M_\infty=6$ ,  $\gamma=1.4$ ;  $\alpha=0, 10, 15, 20, 25, 30, 40^\circ$  (кривые 1–7).

Отметим, что по стандартной методике отрицательные изломы образующей проходят при последовательном счете со скруглением излома по параболе на малом интервале  $\Delta x \sim 0.01$  и с одновременным выделением областей гладкости решения перед и за изломом. Разрывы градиентов  $dP/dx$  в точке стыковки носка с образующей конуса на графиках фиг. 3 несколько слажены из-за более грубого масштаба по оси ординат, чем на фиг. 2.

Сравнение расчетных и экспериментальных распределений давления проведено для обратного конуса с сегментальным носком ( $\theta_0=65^\circ$ ,  $\theta_1=-20^\circ$ ). Дренажный эксперимент проведен для условий обтекания конуса совершенным газом с параметрами:  $M_\infty=6$ ;  $\gamma=1.4$ ;  $\alpha=0, 10, 15, 20, 25^\circ$  и числа Рейнольдса (по параметрам набегающего потока и радиусу миделя модели)  $Re_\infty \sim 5 \cdot 10^5 - 10^6$ , стена — теплоизолированная. Исследовалось обтекание модели с острой угловой точкой (вариант 3 на фиг. 1). Расчетные результаты получены для формы тела со скругленной угловой точкой (вариант 2 на фиг. 1). Необходимые для реализации последовательного счета начальные данные на стартовой «сверхзвуковой» плоскости около затупления рассчитывались методом установления [12]. Сравнение вычисленных (сплошные линии) и измеренных (точки) величин давления для углов атаки  $\alpha=10, 15, 20, 25^\circ$  (варианты 1–4) показано на фиг. 4, а для нулевого угла атаки — на фиг. 5. При малых углах атаки  $\alpha \leq 15^\circ$  расчет заметно, но не нарушают совпадения общего вида кривых, завышает давление на всей образующей конуса. Согласование сравниваемых распределений давления улучшается с увеличением углов атаки. В среднем отличия остаются порядка  $+20\% - 10\%$ .

Чтобы уменьшить методические погрешности, проверялась внутренняя сходимость метода при увеличении числа точек конечно-разностной сетки. Результаты расчетов с 60, 70, 80 сеточными интервалами от тела до ударной волны уже не отличаются от сплошной кривой 1 на фиг. 5. Расложение расчетных и экспериментальных данных 1 и 2 на фиг. 5 надо, по-видимому, объяснять различием угловых кромок у рассматриваемых моделей тел 2 и 3, изображенных на фиг. 1. Один из аргументов состоит в том, что с переходом от прямых к обратным конусам влияние малых возмущений начальных данных около угловой точки распространяется вниз по потоку по характеристикам второго семейства на все расширяющиеся части пристеночного течения около конуса. Кроме того, в звуковой точке на скруглении излома угол наклона касательной к контуру тела удовлетворяет неравенству  $\theta_1 < \theta_0$ , поэтому поток разворачивается на меньший угол  $\Delta\theta = \theta_0 - \theta_1$ , чем в звуковой точке, в которой имеет место равенство  $\theta_1 = \theta_0$ . Значения давлений, отвечающие этим двум разворотам в волне Прандтля — Майера, отмечены на фиг. 5 точками 3 и 4. Штриховой кривой 5 написано рассчитанное давление на примыкающей к скруглению части образующей обратного конуса с углом полурасщепления  $\theta_k = -27^\circ$ , близким к вычисляемому из равенства разворотов вокруг скругленной и острой кромки  $\theta_1 - \theta_k = \theta_0 - \theta_1 = 85^\circ$ .

Полученное совпадение распределений 2 и 5 подтверждает возможность правильного определения малых уровней давления на боковой поверхности сегментально-конических тел в рамках идеализации невязкого обтекания.

Поступила 15 VII 1980

## ЛИТЕРАТУРА

- Миносцев В. Б., Теленин Г. Ф., Тиняков Г. П. Исследование картины сверхзвукового пространственного обтекания тела сегментальной формы. Докл. АН СССР, 1968, т. 179, № 2.
- Кацкова О. Н., Чушкин П. И. Влияние неравновесной диссоциации на сверхзвуковое пространственное обтекание обратных конусов. Изв. АН СССР. МЖГ, 1970, № 2.
- Землянский Б. А. О гиперзвуковом обтекании сегментально-конических тел под большим углом атаки. Изв. АН СССР. МЖГ, 1970, № 3.
- Белоцерковский О. М., Головачев Ю. П., Грудницкий В. Г. и др. Численное исследование современных задач газовой динамики. М., «Наука», 1974.
- Антонец А. В. Расчет пространственного сверхзвукового обтекания затупленных тел с изломами образующей с учетом равновесного и замороженного состояния газа в ударном слое. Изв. АН СССР. МЖГ, 1970, № 2.
- Антонец А. В. Гиперзвуковое обтекание затупленных тел неравновесным потоком воздуха. Изв. АН СССР. МЖГ, 1974, № 2.
- Бабенко К. И., Воскресенский Г. П. Численный метод расчета пространственного обтекания тел сверхзвуковым потоком газа. Ж. вычисл. матем. и матем. физ., 1961, т. 1, № 6.
- Воскресенский Г. П., Чушкин П. И. Численные методы решения задач сверхзвукового обтекания тел, т. 11, М., 1978 (ВИНИТИ, Итоги науки и техники).
- Дьяконов Ю. Н., Пчелкина Л. В. Сандомирская И. Д. Сверхзвуковое обтекание затупленных тел. Изд-во МГУ, 1971.
- Миносцев В. Б. О градиенте давления в точке излома или разрыва кривизны контура затупленных конусов и клиньев, обтекаемых сверхзвуковым потоком газа. Изв. АН СССР, МЖГ, 1977, № 1.

11. Лунев В. В. Гиперзвуковая аэродинамика. М., «Машиностроение», 1975.  
 12. Никулин А. Н. Расчет неравновесного обтекания затупленных тел методом уст-  
 новления. Тр. XX Научн. конф. Моск. физ.-техн. ин-та, 1974. Сер. Аэрофиз. и  
 прикл. матем., ч. 1. Долгопрудный, 1975.

УДК 533.6.011.55 : 541.124

## НЕРАВНОВЕСНАЯ ИОНИЗАЦИЯ ПРИ ГИПЕРЗВУКОВОМ ОБТЕКАНИИ ЗАТУПЛЕННЫХ ТЕЛ УГЛЕКИСЛЫМ ГАЗОМ

Ю. П. ГОЛОВАЧЕВ

(Ленинград)

Рассматривается неравновесная ионизация в ударном слое при обтекании сфе-  
 рически затупленных конусов углекислым газом со скоростью 4–7 км/сек при  
 плотности набегающего потока  $10^{-8} - 10^{-5}$  г/см<sup>3</sup>. Исследуется влияние примесей  
 азота и натрия на концентрацию электронов.

1. В рассматриваемых условиях степень ионизации достаточно мала, так что  
 можно пренебречь влиянием заряженных частиц на распределении газодинамических  
 функций и концентраций нейтральных компонент. Эти данные заимствуются из [1],  
 где они вычислены на основе уравнений Навье – Стокса с учетом неравновесных  
 химических реакций и колебательной релаксации молекул CO<sub>2</sub>. Предполагается ква-  
 зинейтральность смеси во всем ударном слое, за исключением пристеночной области,  
 где учитывается образование пространственного заряда. Диффузионные свойства  
 всех ионов и всех нейтралов считаются одинаковыми. Амбиполярная диффузия опи-  
 сывается с помощью постоянного эффективного числа Шмидта. В рассматриваемых  
 условиях ионизация происходит главным образом за счет энергии тяжелых частиц.  
 При этом высокая эффективность обмена энергией между электронами и молекулами  
 позволяет пренебречь различием температур электронов и тяжелых частиц [2].  
 Справедливость этого предположения подтверждается и экспериментальными дан-  
 ными [3].

Определение концентрации заряженных частиц при указанных предположениях  
 сводится к решению системы уравнений неразрывности для ионов. В этих уравнени-  
 ях учитывается только нормальная составляющая диффузионного потока, поскольку  
 основное изменение концентраций компонент происходит поперек ударного слоя.  
 В ( $s, n$ )-координатах, связанных с поверхностью тела, уравнение неразрывности для  
 ионов  $i$ -го сорта записывается в виде

$$(1.1) \quad -\frac{\partial}{\partial n} \left( \frac{\mu}{S} \frac{\partial c_i}{\partial n} \right) + \left[ \rho v - \frac{\mu}{S} \left( \frac{x}{1+xn} + \frac{\cos \theta}{r+n \cos \theta} \right) \right] \frac{\partial c_i}{\partial n} + \\ + \frac{\rho u}{1+xn} \frac{\partial c_i}{\partial s} = \omega_i$$

где  $c_i$  – относительная массовая концентрация ионов;  $\rho$ ,  $\mu$  – плотность и коэффици-  
 ент вязкости смеси;  $S$  – число Шмидта;  $u$ ,  $v$  – составляющие вектора скорости в на-  
 правлениях  $s$ ,  $n$ ;  $x$  – кривизна образующей поверхности тела;  $\theta$  – угол между обра-  
 зующей и направлением набегающего потока;  $r$  – расстояние от оси симметрии до  
 поверхности тела;  $\omega_i$  – массовая скорость образования ионов.

При известном положении отошедшей ударной волны и поле газодинамических  
 функций в ударном слое уравнения (1.1) образуют систему параболического типа.  
 Граничные условия формулируются следующим образом. На осевой линии исполь-  
 зуются условия симметрии, на ударной волне – модифицированные соотношения  
 Ренкина – Гюгонио. Поверхность тела считается непроводящей, идеально каталиги-  
 ческой для рекомбинации ионов и имеющей температуру  $T_w = 1100^\circ$  К. Для бесстолк-  
 новительного пристеночного слоя пространственного заряда граничные условия  
 здесь записываются в виде [4, 5]

$$(1.2) \quad \frac{\mu}{S} \frac{\partial c_i}{\partial n} - 0.8 \rho \sqrt{\frac{RT_w}{m_i}} c_i = 0$$

где  $R$  – универсальная газовая постоянная,  $m_i$  – молекулярный вес. В условиях, ког-  
 да средняя длина свободного пробега молекул у поверхности тела меньше дебаев-  
 ского радиуса, нарушение квазинейтральности не учитывается. В этом случае исполь-  
 зуется приближенное граничное условие  $c_i = 0$ .